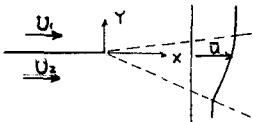


II-101 平行流の混合についての実験研究(2)

東洋大学 工学部 正員 本向 仁
 フ 萩原 国宏
 フ ○福井 吉孝

はじめに

我々は河川に於ける合流機構の解析の一環として(2)の表記の研究について昨年度の年次講演会に於いて報告を行った。その後、運動方程式の境界条件を改良を加え、又、等角写像による流線の解析をも試みたのでここに発表する。



1 理論的検討

前報告と重複する点もあるが、簡潔に記す。運動方程式はX方向で以下

$$\frac{\partial \bar{U}}{\partial t} + \bar{U} \frac{\partial \bar{U}}{\partial x} + \bar{V} \frac{\partial \bar{U}}{\partial y} = X - \frac{1}{\rho} \frac{\partial P}{\partial x} + \frac{1}{\rho} \frac{\partial \bar{T}_{xy}}{\partial y} \quad \dots (1)$$

$$\frac{\partial \bar{U}}{\partial t} = 0, \quad \frac{\partial \bar{U}}{\partial x} = 0, \quad X = 0 \text{ とする} \quad \dots (2)$$

$$\bar{U} \frac{\partial \bar{U}}{\partial x} + \bar{V} \frac{\partial \bar{U}}{\partial y} - \frac{1}{\rho} \frac{\partial \bar{T}_{xy}}{\partial y} = 0 \quad \dots (3)$$

(2)は相似の仮定、流れ度数、Prandtlの混合距離の導入により、(3)となる。

$$G''(\gamma) + G(\gamma) = 0 \quad \dots (4)$$

$$\text{但し } \gamma = \frac{y}{x} \sqrt{\frac{1}{2C_s^2}} = \frac{y}{x} \cdot K$$

(4)を解く

$$G(\gamma) = C_1 e^{\gamma} + C_2 e^{-\gamma} \cos \frac{\sqrt{3}}{2} \gamma + C_3 e^{-\gamma} \sin \frac{\sqrt{3}}{2} \gamma \quad \dots (5)$$

$\gamma' = \gamma - \gamma_1$ を使って(4)式を変換する。

$$H(\gamma') = d_1 e^{\gamma'} + d_2 e^{-\gamma'} \cos \frac{\sqrt{3}}{2} \gamma' + d_3 e^{-\gamma'} \sin \frac{\sqrt{3}}{2} \gamma' \quad \dots (6)$$

以下の(i), (ii), (iii), (iv), (v)で以降の未知量を消去して行く。

$$(i) \quad \gamma = \gamma_1 \text{ 即ち } \gamma' = 0 \text{ 时} \quad \bar{U} = U_1$$

$$(ii) \quad \frac{\partial \bar{U}}{\partial y} = \frac{\partial \bar{U}}{\partial y} \gamma' = 0$$

$$(iii) \quad \gamma = \gamma_2 \text{ 即ち } \gamma' = \gamma_2 - \gamma_1 \text{ 时} \quad \bar{U} = U_2$$

$$(iv) \quad \frac{\partial \bar{U}}{\partial y} = \frac{\partial \bar{U}}{\partial y} \gamma' = 0$$

$$(v) \quad U_1 V_1 + U_2 V_2 = 0$$

[註] 前報告では(5)として $[\gamma' = 0 \text{ 时} \quad \bar{U} = 0]$ を採った。

$$(i) \text{ より } \gamma' = 0 \text{ 时}$$

$$\bar{U} = \frac{U_1}{K} = -d_1 + \frac{1}{2} d_2 + \frac{\sqrt{3}}{2} d_3 \quad \dots (7)$$

$$(ii) \text{ より } \gamma' = 0 \text{ 时}$$

$$\frac{\partial \bar{U}}{\partial y} = 0 = d_1 - \frac{1}{2} d_2 + \frac{\sqrt{3}}{2} d_3 \quad \dots (8)$$

$$(iii) \text{ より } \gamma_1 = \gamma_2 \text{ 时}$$

$$\frac{U_2}{K} = -d_1 e^{-\gamma_2} + \frac{1}{2} e^{\frac{\sqrt{3}}{2} \gamma_2} d_2 (C_s - \sqrt{3} S_n) + \frac{1}{2} e^{\frac{\sqrt{3}}{2} \gamma_2} d_3 (S_n + \sqrt{3} C_s) \quad \dots (9)$$

$$\text{但し } C_s = \cos \frac{\sqrt{3}}{2} \gamma_2, \quad S_n = \sin \frac{\sqrt{3}}{2} \gamma_2 \quad \text{以後も同様}$$

$$(iv) \text{ より } \gamma = \gamma_2 \text{ 时}$$

$$0 = d_1 e^{-\gamma_2} - \frac{1}{2} e^{\frac{\sqrt{3}}{2} \gamma_2} d_2 (C_s + \sqrt{3} S_n) + \frac{1}{2} d_3 e^{\frac{\sqrt{3}}{2} \gamma_2} (\sqrt{3} C_s - S_n) \quad \dots (10)$$

$$(v) \text{ より}$$

$$0 = U_1 (-d_1 - d_2 + \gamma_1 \cdot \bar{U}_1 / K) + U_2 \left\{ -d_1 e^{-\gamma_2} - d_2 e^{\frac{\sqrt{3}}{2} \gamma_2} C_s - d_3 e^{\frac{\sqrt{3}}{2} \gamma_2} S_n + (\gamma_2' + \gamma_1) \frac{U_2}{K} \right\} \quad \dots (11)$$

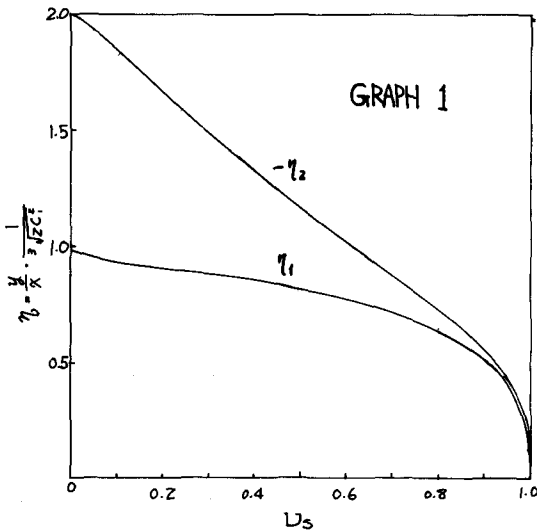
(6), (7), (8), (9), (10)をまとめて整理すると

$$\frac{U_2}{U_1} = \frac{U_2}{U_1} = \frac{1}{2} e^{\frac{\sqrt{3}}{2}(-\alpha)} + \frac{1}{2} e^{\frac{\sqrt{3}}{2}(C_s \sqrt{3} S_n) \alpha} + \frac{1}{2\sqrt{3}} e^{\frac{\sqrt{3}}{2}(S_n + \sqrt{3} C_s) \alpha} \quad \dots (12)$$

$$\gamma_1 = \frac{U_2}{U_1^2 + 1} \left\{ \frac{1}{2U_1} (3\alpha - 1) + \frac{1}{2} e^{\frac{\sqrt{3}}{2}(\alpha - 1)} + e^{\frac{\sqrt{3}}{2}(C_s \alpha + \frac{S_n}{\sqrt{3}})} - U_2 \gamma_2 \right\} \quad \dots (13)$$

$$\text{但し } \alpha = \frac{-e^{\frac{\sqrt{3}}{2}} + \frac{1}{\sqrt{3}} e^{\frac{\sqrt{3}}{2}(\sqrt{3} C_s - S_n)}}{-e^{\frac{\sqrt{3}}{2}} + e^{\frac{\sqrt{3}}{2}(C_s + \sqrt{3} S_n)}}$$

(11), (12)によると $U_2 \sim \gamma_1$, $U_1 \sim \gamma_2$ の関係を求める事が出来る。数値計算の結果がgraph 1である。拡散域を決定するには今一つ、C(混合距離係数)が必要となるが、これは実験を行なう事で求められる。



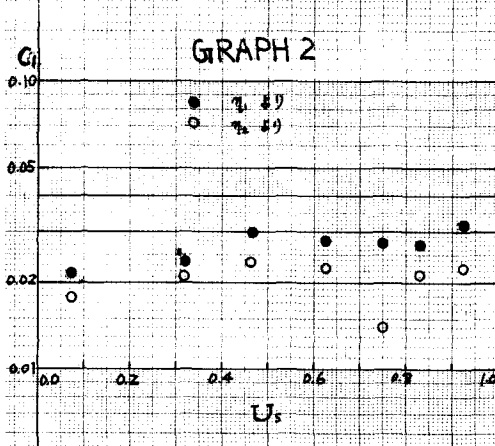
2. 混合距離係数 \$C_1\$

$$\gamma = \frac{1}{x^2 \cdot 2g^2}$$

図2

$$C_1 = \sqrt{\left(\frac{x}{\gamma}\right)^2 - 1}$$

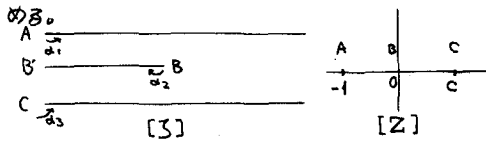
流速分布の測定に付いては、Graph 1 が出てきた。\$C_1\$ がとまる。立ち結果が Graph 2 である。



実験、及び解析の方法上確固たる事を言えないとあるが、だいたいの傾向として、\$0.02 \sim 0.03\$ の間の値を示してある事が判る。この値は噴流の混合距離係数として与えられた \$0.0197\$ (佐藤細井), \$0.0129 \sim 0.0180\$ (中西、千秋) の値と比較していくから多目的の値となる。

3. 等角写像による流線の決定。

次に 等角写像を利用して \$B'-B\$ を通る流線を求める。



Schwarz-Christoffel の方法(25)

$$\zeta = A \int_0^z \frac{dz}{(z-c)(z+1)} + C_0 \quad \dots (13)$$

これをとく

$$\zeta = \frac{A}{i+c} [\log(z+1) + c \log(z-c)] + A_0 \quad \dots (14)$$

(14) の定数を決めると

$$\zeta = \frac{R_1}{\pi} \{ \log(z+1) + \log(z-1) \} - i h_1 \quad \dots (15)$$

次に \$W\$ 面を考えると、今考えている問題は

$$W = m_1 \log(z+1) + m_2 \log(z-1) \quad \dots (16)$$

の形で与えられる。

(16)式は

$$W = \varphi + i \psi$$

$$= m_1 \log(x+i y+1) + m_2 \log(x+i y-1)$$

$$= m_1 (x + i Y) + m_2 (x' + i Y') \quad \dots (17)$$

$$\begin{bmatrix} X = \frac{1}{2} \log \{(x+1)^2 + y^2\} \\ Y = \tan^{-1} \frac{y}{x+1} \end{bmatrix}$$

$$\begin{bmatrix} X' = \frac{1}{2} \log \{(x-1)^2 + y^2\} \\ Y' = \tan^{-1} \frac{y}{x-1} \end{bmatrix}$$

$$\varphi = m_1 \tan^{-1}(\gamma/x+1) + m_2 \tan^{-1}(\gamma/x-1) - Q \quad (x \neq 1, -1)$$

\$x=0, y=0\$ を通る流線で \$\varphi=0\$ となる様に式を求めて

$$\varphi_0 = m_1 \tan^{-1}(\gamma_1) + m_2 \tan^{-1}(\gamma_1) \quad \therefore \varphi_0 = m_2 \pi$$

故に \$x=0, y=0\$ を通る流線の式は

$$M \varphi = \tan^{-1} \frac{y}{x+1} + M \tan^{-1} \frac{y}{x-1} \quad \dots (18)$$

但し \$M = m_2/m_1\$

$$\zeta = \frac{1}{4} \log \{(x+1)^2 + y^2\} \cdot \{(x-1)^2 + y^2\} \quad \dots (19)$$

$$\gamma = \frac{1}{2} \tan^{-1} \frac{y}{x+1} + \frac{1}{2} \tan^{-1} \frac{y}{x-1} - \frac{\pi}{2} \quad \dots (20)$$

(18), (19), (20) で \$B'-B\$ を通る流線は計算できることである。詳しく述べる予定。

参考文献 岸「水力学演習2」

H. ROUSE "Advanced mechanics of Fluids"